

## สารบัญ

	หน้า
ใบรับรองโครงการวิศวกรรม	๑
บทคัดย่อภาษาไทย	๑
กตติกรรมราชาศ	๓
สารบัญ	๔
สารบัญตาราง	๖
สารบัญรูป	๗
<b>บทที่ ๑ บทนำ</b>	
1.๑ หลักการและเหตุผล	๑
1.๒ วัสดุใช้สังค์	๑
1.๓ เกณฑ์ชี้วัดผลงาน	๑
1.๔ เกณฑ์ชี้วัดผลสำเร็จ	๒
1.๕ ขอบเขต	๒
1.๖ ผลงานที่ใช้ในการตัดสินการวิจัย	๒
1.๗ ระยะเวลาในการตีความและการวิจัย	๒
1.๘ แนวทางการดำเนินงาน	๒
1.๙ ผลที่คาดว่าจะได้รับ	๓
<b>บทที่ ๒ ทฤษฎีที่เกี่ยวข้อง</b>	
2.๑ ความรู้เบื้องต้นเกี่ยวกับการเชื่อมรูหัวเม็คก์ก์อยเดียวแบบเติม	๔
2.๒ การเชื่อม Gas Tungsten Arc Welding (GTAW) หรือการเชื่อมแบบทิก	๕
2.๓ เหล็กกล้าไร้สนิม (stainless steel)	๙
2.๔ การเชื่อมเหล็กกล้าไร้สนิม	๒๖
2.๕ การทดสอบความแข็งแบบวิกเกอร์ (Vickers Hardness Test)	๒๘
2.๖ การหาปริมาณแผลลมหายใจที่ดีของวิธีการนับคริต	๓๐

## สารบัญ (ต่อ)

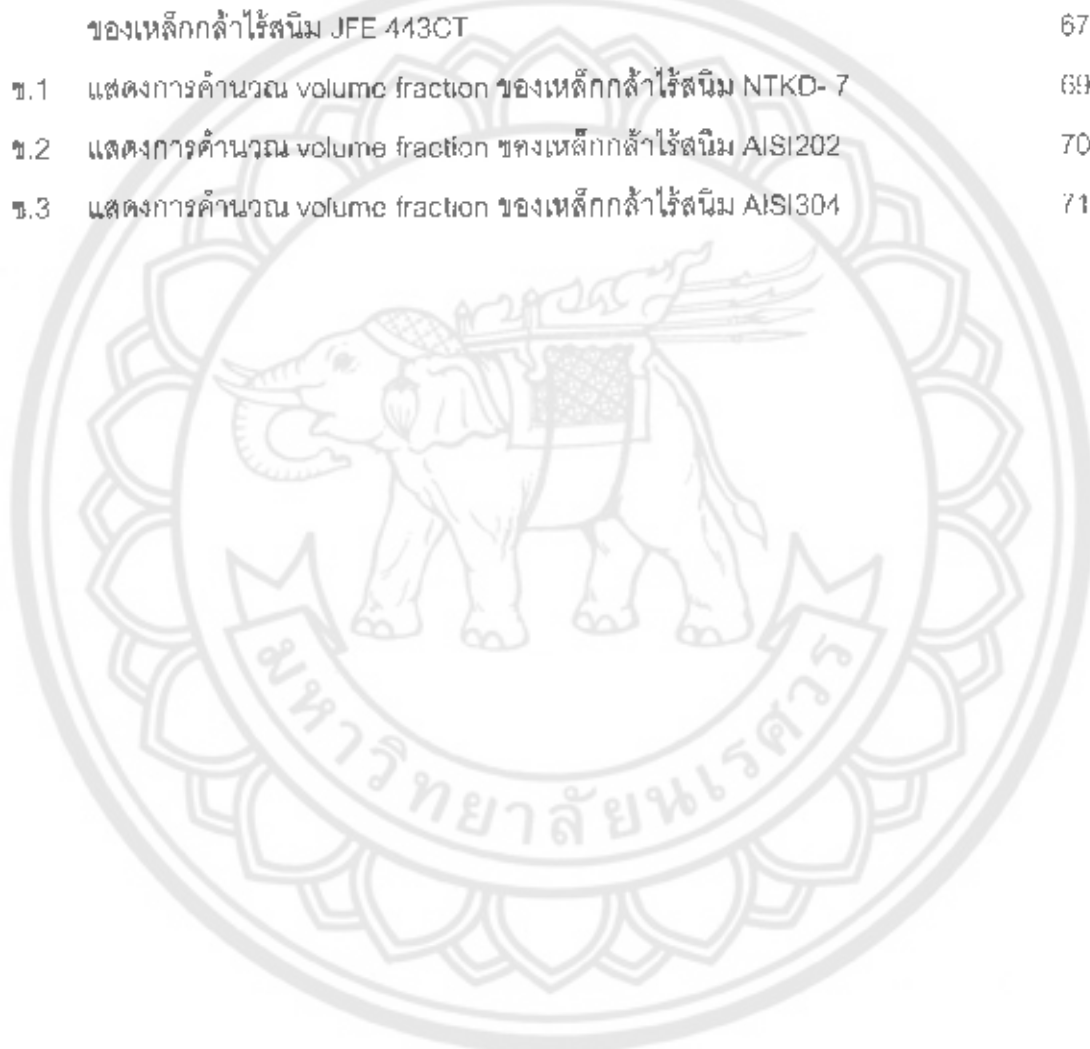
	หน้า
2.7 Atomic Absorption Spectrophotometer (AAS)	32
2.8 ส่วนผสมของเหล็กกล้าไร้สนิมและราคา	35
 <b>บทที่ 3 วิธีการดำเนินงานวิจัย</b>	
3.1 ศึกษาพร้อมทั้งรวมความรู้ข้อมูลและพฤติกรรมต่างๆที่เกี่ยวข้องกับการเชื่อม และเหล็กกล้าไร้สนิม	36
3.2 ทดสอบเชื่อมเหล็กกล้าไร้สนิมชนิดต่างๆโดยการเชื่อมแบบพิถี พิถัน	36
3.3 ศึกษาผลที่ได้จากการเชื่อมของโลหะทั้ง 4 ชนิด	36
3.4 วิเคราะห์สรุปผลและการเสนอโครงการงานวิจัย	37
 <b>บทที่ 4 ผลการทดสอบและภาระกิจภายใน</b>	
4.1 โครงสร้างจุดภาคของเหล็กกล้าไร้สนิม AISI304, NTKD7, AISI202 และ JFF 443CT ที่ผ่านการเผาไหม้	38
4.2 การทดสอบความแข็งตัวโดยเครื่องทดสอบความแข็งแบบ Vickers load 0.5kg	53
4.3 ผลการวิเคราะห์ตารางเป็นเปื้อน	55
 <b>บทที่ 5 สรุปผลการทดสอบ และข้อเสนอแนะ</b>	
5.1 สรุปผลการทดสอบ	58
5.2 ข้อเสนอแนะ	59
 <b>ภาคผนวก</b>	
ภาคผนวก ๓ การทดสอบความแข็งตัวโดยเครื่องทดสอบความแข็ง แบบ Vickers load 0.5kg	61
ภาคผนวก ๔ การทำปริมาณเดลตาเฟอร์ไรซ์ผังกราฟิกวิธี	68
ภาคผนวก ๕ Japan Food Research Laboratories	72
เอกสารอ้างอิง	74
ประวัติผู้เขียนโครงการ	76

## สารบัญตาราง

<b>ตารางที่</b>	<b>หน้า</b>
1.1 การดำเนินงาน	3
2.1 สมบัติของก้าชที่ใช้ในการปอกดูมรอยเทื้อ	8
2.2 ตัวอย่างของเหล็กกล้าไร้สนิมบางเกรด	11
2.3 ผลของส่วนผสมทางเคมีต่อบริมาณโครงสร้างเหล็ก	21
2.4 ตัวอย่างปัญหาที่เกิดขึ้นในการเชื่อมเหล็กกล้าไร้สนิมประเภทต่างๆ	26
2.5 95 % Confidence Interval Multipliers	31
2.6 แสดงฐานส่วนผสมของเหล็กกล้าไร้สนิม	35
4.1 ค่าพรายอ่องบริเวณและโครงสร้างอุลจักษณ์ที่พบภายหลังการเชื่อมทิก และการจำลองเรื่อง	38
4.2 แสดงชนิดและเพศของเหล็กกล้าไร้สนิมชนิดต่างๆ	52
4.3 แสดงผลการวัดค่า Delta ferrite ของเหล็กกล้าไร้สนิม AISI304, NTKD-7 และ AISI202	52
4.4 แสดงค่าความแข็งเฉลี่ยของเหล็กกล้าไร้สนิมเกรดต่างๆ หน่วยเป็น HV <sub>0.5</sub>	53
4.5 แสดงทราบเป็นอ่อนออกมากับน้ำที่นำไปทดสอบก่อนทำความสะอาดห้องเชื่อม	55
4.6 แสดงทราบเป็นโคนยกมา กับน้ำที่นำไปทดสอบหลังทำความสะอาดห้องเชื่อม	56
4.7 มาตรฐานสารปนเปื้อน (ปราะกาศกระหวงสาขาวัฒนา)	57
5.1 แสดงปัญหาของเหล็กกล้าไร้สนิม	60
ก.1 แสดงค่า d ที่วัดได้จากเหล็กกล้าไร้สนิม AISI304 (mm.)	62
ก.2 แสดงค่า d ที่วัดได้จากเหล็กกล้าไร้สนิม NTKD-7 (mm.)	63
ก.3 แสดงค่า d ที่วัดได้จากเหล็กกล้าไร้สนิม AISI202 (mm.)	64
ก.4 แสดงค่า d ที่วัดได้จากเหล็กกล้าไร้สนิม JFE 433CT (mm.)	65
ก.5 แสดงค่าความแข็งที่ทำแห่งต่างๆ ในระบบ HV ที่คำนวณได้ ของเหล็กกล้าไร้สนิม AISI304	66
ก.6 แสดงค่าความแข็งที่ทำแห่งต่างๆ ในระบบ HV ที่คำนวณได้ ของเหล็กกล้าไร้สนิม NTKD-7	66

## สารบัญสาร章 (ต่อ)

สาระที่	หน้า
ก.7 แสดงค่าความแข็งที่ตัวแหน่งต่างๆ ในระบบ HV ที่คำนวณได้ ของเหล็กกล้าไร้สนิม AISI202	66
ก.8 แสดงค่าความแข็งที่ตัวแหน่งต่างๆ ในระบบ HV ที่คำนวณได้ ของเหล็กกล้าไร้สนิม JFE 443CT	67
ก.1 แสดงการคำนวณ volume fraction ของเหล็กกล้าไร้สนิม NTKD- 7	69
ก.2 แสดงการคำนวณ volume fraction ของเหล็กกล้าไร้สนิม AISI202	70
ก.3 แสดงการคำนวณ volume fraction ของเหล็กกล้าไร้สนิม AISI304	71



## สารบัญ

<b>หัวข้อ</b>	<b>หน้า</b>
2.1 แสดงการตีความมักก่าวายเที่ยงแบบใช้ตะเกียบกาวบัดกาวช้อน	4
2.2 การเชื่อมแบบ GTAW	5
2.3 แสดงหัวดิสก์ไฟฟ้าที่ใช้ในการเชื่อมทิกร	7
2.4 แสดงการทดสอบของฟิล์มออกไซด์ในการเข้มตัวยอเชิงไฟฟ้าดูบาน DCEP	7
2.5 โครงสร้างอัลตราเหล็กกล้าไนโตรเจนฟอร์วิติก (Ferritic Stainless Steel)	13
2.6 แสดงแผนภูมิสมดุลของ เหล็ก-โครเมียม-นิกเกิล ที่มีปริมาณเหล็ก 70 และ 60 เปอร์เซ็นต์โดยน้ำหนัก	14
2.7 ความสัมพันธ์ระหว่างปริมาณโครเมียมและอัตราการกัดกร่อน	14
2.8 แผนภูมิสมดุลของเหล็กและโครเมียม	15
2.9 โครงสร้างอัลตราเหล็กกล้าไนโตรเจนออกไซด์ (Austenitic Stainless Steel)	16
2.10 แผนภูมิ Schaeffler	18
2.11 แผนภูมิ Delong	18
2.12 แผนภูมิ Schaeffler ที่แสดงบริเวณต่างๆ ที่เป็นอันตรายต่อการเข้ม	19
2.13 ผลของธาตุพัฒนาแผนภูมิสมดุล	20
2.14 ให้ผลการแข็งตัวของเหล็กกล้าไนโตรเจน	21
2.15 ปริมาณโครเมียมที่บันริเวณต่างๆ ของโครงสร้างเหล็กกล้าไนโตรเจน AISI316 ที่เกิดการลดระดับของโครเมียมคราวไปบด	23
2.16 แสดงบริเวณที่เกิดการพร่องโครเมียม (Cr-depletion zone)	23
2.17 การลดระดับของโครเมียมคราวไปบดของเหล็กกล้าไนโตรเจน AISI316	24
2.18 ผลของไนโตรเจนต่อกลุ่มในทางเดินผ่านของสารประกายบาร์บีเด (M <sub>23</sub> C <sub>6</sub> )	25
2.19 แสดงโครงสร้างอัลตราเหล็กที่บันริเวณต่างๆ ภายหลังการตีคอมเหล็กกล้าไนโตรเจนฟอร์วิติก	27
2.20 แสดงหลักการทดสอบแม็กนีติกเกอร์	28
2.21 แสดงภาพศักย์ไฟฟ้าในการนับปริมาณเศษตัวเฟอร์ไรท์	30
2.22 เครื่องวิเคราะห์โลหะหนัก Atomic Absorption Spectrophotometer (AAS) ยี่ห้อ GBC รุ่น Aventra pm	32
2.23 ขั้นตอนการทำให้ชาตุกาลยาเป็นมาตรฐานคืออะไรวิธีการต่างๆ	33

## สารบัญ (ต่อ)

<b>รูปที่</b>	<b>หน้า</b>
3.1 แสดงตำแหน่งต่างๆ บนชิ้นงานทั้ง 4 ชิ้นงานที่ผ่านการเชื่อม	36
3.2 แสดงขนาดของเหล็กกล้าไว้สัมภาระที่นำไปใช้ระหว่างการปิดเป็อน	37
4.1 โครงสร้างอุลภาคโดยรวม เหล็กกล้าไว้สัมภาระ AISI304 ที่กำลังขยาย 50 เมตร	39
4.2 โครงสร้างอุลภาคที่บวกรอบแนวการหลอมเหลว เหล็กกล้าไว้สัมภาระ AISI304 กำลังขยาย 100 เมตร	40
4.3 โครงสร้างอุลภาคที่บวกรอบแนวการหลอมเหลว เหล็กกล้าไว้สัมภาระ AISI304 กำลังขยาย 200 เมตร	40
4.4 โครงสร้างอุลภาคที่บวกรอบแนวการหลอมเหลว เหล็กกล้าไว้สัมภาระ AISI304 กำลังขยาย 200 เมตร	41
4.5 โครงสร้างอุลภาคที่บวกรอบโลหะพื้น เหล็กกล้าไว้สัมภาระ AISI304 กำลังขยาย 200 เมตร	41
4.6 โครงสร้างอุลภาคโดยรวม เหล็กกล้าไว้สัมภาระ NTKD-7 กำลังขยาย 50 เมตร	42
4.7 โครงสร้างอุลภาคที่บวกรอบแนวการหลอมเหลว เหล็กกล้าไว้สัมภาระ NTKD-7 กำลังขยาย 100 เมตร	43
4.8 โครงสร้างอุลภาคที่บวกรอบแนวการหลอมเหลว เหล็กกล้าไว้สัมภาระ NTKD-7 กำลังขยาย 200 เมตร	43
4.9 โครงสร้างอุลภาคที่บวกรอบแนวการหลอมเหลว เหล็กกล้าไว้สัมภาระ NTKD-7 กำลังขยาย 200 เมตร	44
4.10 โครงสร้างอุลภาคที่บวกรอบโลหะพื้น เหล็กกล้าไว้สัมภาระ NTKD-7 กำลังขยาย 200 เมตร	44
4.11 โครงสร้างอุลภาคเหล็กกล้าไว้สัมภาระ AISI202 กำลังขยาย 50 เมตร	45
4.12 โครงสร้างอุลภาคที่บวกรอบแนวการหลอมเหลว เหล็กกล้าไว้สัมภาระ AISI202 กำลังขยาย 100 เมตร	46
4.13 โครงสร้างอุลภาคที่บวกรอบแนวการหลอมเหลว เหล็กกล้าไว้สัมภาระ AISI202 กำลังขยาย 200 เมตร	46

## สารบัญรูป (ต่อ)

รูปที่	หน้า
4.14 โครงสร้างอุลภาคที่บบริเวณโลหะพื้น เหล็กกล้าไร้สนิม 202 กำลังขยาย 200 เมตร	47
4.15 โครงสร้างอุลภาคที่บบริเวณโลหะพื้น เหล็กกล้าไร้สนิม AISI202 กำลังขยาย 200 เมตร	47
4.16 โครงสร้างอุลภาคเหล็กกล้าไร้สนิม JFF 443CT กำลังขยาย 50 เมตร	48
4.17 โครงสร้างอุลภาคที่บบริเวณแนวการลดความเหลว เหล็กกล้าไร้สนิม JFE 443CT กำลังขยาย 100 เมตร	50
4.18 โครงสร้างอุลภาคที่บบริเวณแนวการลดความเหลว เหล็กกล้าไร้สนิม JFE 443CT กำลังขยาย 200 เมตร	50
4.19 โครงสร้างอุลภาคที่บบริเวณลดความเหลว เหล็กกล้าไร้สนิม JFE 443CT กำลังขยาย 50 เมตร	51
4.20 โครงสร้างอุลภาคที่บบริเวณโลหะพื้น เหล็กกล้าไร้สนิม JFE 443CT กำลังขยาย 50 เมตร	51
4.21 แสดงตำแหน่งต่างๆบนชิ้นงานทั้ง 4 ชิ้นงานที่ผ่านการตีขึ้นทีก	53
4.22 ภาพแสดงหัวต่อกาวเมเน็จเชือดีบของชิ้นงานทั้ง 4 ชิ้น	54
4.23 นโยบายติดรายชื่อ CT-501 NB	56
ก.1 ภาพแสดงตำแหน่งการตัดค่าความแข็งจากเหล็กกล้าไร้สนิม AISI304	62
ก.2 ภาพแสดงตำแหน่งการตัดค่าความแข็งจากเหล็กกล้าไร้สนิม NTKD-7	63
ก.3 ภาพแสดงตำแหน่งการตัดค่าความแข็งจากเหล็กกล้าไร้สนิม AISI202	64
ก.4 ภาพแสดงตำแหน่งการตัดค่าความแข็งจากเหล็กกล้าไร้สนิม JFE 433CT	65